

II-24 透過性構造物による波の変形に関する研究(2) —鉛直捨石護岸からの反射率について—

建設省土木研究所 王員 富永正照
建設省河川局海岸課 王員 坂本忠志

まえがき 岸壁あるいは海岸堤防などの構造物からの反射波を減少させるため、その前面に捨石あるいは異形コンクリートブロックで消波工をつくる工法は各地で多く採用されている。本報告では、このような消波工内部での波の運動を抵抗を受けて進行する波の運動として、理論的に取り扱うことと試み、鉛直捨石護岸からの反射率について実験結果と比較し、このような問題に対する定量的検討の可能性を示したものである。

1. 理論的椡討

1.1. 基礎方程式 透過性構造物内の波の運動に関してはすぐれて報告したので、詳細は参考文献へやむを得ず、Fig. 1. に示すような座標系における各領域内のオーダ近似の基礎方程式は以下のようである。

領域Ⅱ (抵抗を受けない領域) 領域Ⅰ (線形抵抗)

$$\text{連続式 } \frac{\partial U_2}{\partial x} + \frac{\partial W_2}{\partial z} = 0 \dots (1) \quad \frac{\partial U_1}{\partial x} + \frac{\partial W_1}{\partial z} = 0 \dots (2)$$

$$\text{運動式 } \frac{\partial U_2}{\partial t} = -\frac{1}{P} \frac{\partial P_2}{\partial x} \dots (3) \quad \frac{1}{X} \frac{\partial U_1}{\partial t} = -\frac{1}{P} \frac{\partial P_1}{\partial x} - \frac{g}{k} U_1 \dots (4)$$

$$\frac{\partial W_2}{\partial t} = g - \frac{1}{P} \frac{\partial P_2}{\partial z} \dots (5) \quad \frac{1}{X} \frac{\partial W_1}{\partial t} = -g - \frac{1}{P} \frac{\partial P_1}{\partial z} - \frac{g}{k} W_1 \dots (6)$$

$$\text{境界条件: } W_2 = 0, z = -h \dots (7) \quad W_1 = 0, z = -h \dots (8)$$

$$\frac{\partial n_2}{\partial t} = W_2, z = 0 \dots (9) \quad \frac{\partial n_1}{\partial t} = W_1, z = 0 \dots (10)$$

$$P_2 = 0, z = 0 \dots (11) \quad P_1 = 0, z = 0 \dots (12)$$

$$U_1 = 0, x = l \dots (13)$$

領域の連続条件:

$$\text{水位の連続 } n_2 = n_1, x = 0 \dots (14)$$

$$\text{流速の連続 } U_2 = U_1, x = 0 \dots (15)$$

$$\text{圧力の連続 } P_2 = P_1, x = 0 \dots (16)$$

1.2. 領域Ⅱの解 領域Ⅱの解は微小振幅波理論の解であるから、入射波 H_I 及び反射波 HR を考えてポテンシャル表示を行なうと

$$\varphi_2 = -iC_2 \frac{\cosh k_2(z + h)}{\sinh k_2 h} \left\{ \frac{H_I}{z} e^{i(\delta t - k_2 x)} + \frac{HR}{z} e^{i(\delta t + k_2 x)} \right\} \dots (17)$$

$$\delta = 2\pi/T, \delta^2 = g k_2 \tanh k_2 h, \delta = k_2 C_2 \dots (18)$$

(18)式より求まる波数は土 k_2 という一組の実根と、無限に多くの純虚根を持っている。実根は入射波

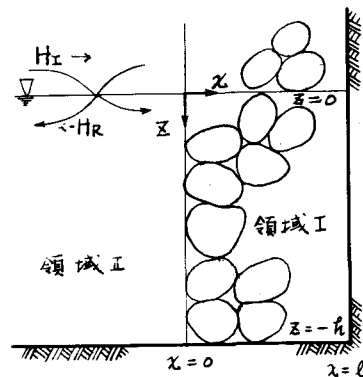


Fig. 1. 鉛直捨石護岸と座標系

ただし鉛直捨石堤の空隙率を入れて透水係数を表し、水深は定義する。流速 U_2, U_1 は断面平均流速をとるものとする。

および反射波に対応し、虚根は波高が距離の関数として、指數関数的に減衰する擾乱波に対応するが、(17)式においては入射波および反射波のみを考へている。

1.3. 領域 I の解. 領域 I の解とポテンシャルをもち、領域 I の内部においてひ入射波と反射波を考えるヒ.

$$\psi_1 = \left\{ E e^{i(\delta t - k_1 x)} + F e^{i(\delta t + k_1(x - l))} \right\} \cosh k_1(h + z) \quad \dots \quad (19)$$

E と F との間には (13) 式より $F = E e^{-ik_x l}$ の関係がある。

波数角は透過性構造物内の自由表面の条件よりひと通り、次式より計算される。

$$\left(\zeta^2 - i \frac{\lambda_0}{k} g \right) = q k_i \tanh k_i h, \quad k_i = k_r + i k_i \dots \dots \dots \quad (21)$$

(21)式より求まる複素数の波数を $\tan k_1$, ただし k_1 を基本周期とする周期関数であるから、複素数で考えた透過性構造物内の波数も $\tan k_1$ という基本波数のみでなく、透過性構造物内での擾乱波に対応する高次波数をもつ。高次波数になるほど実数部 $|k_1r|$ が小さく、虚数部 $|ki_1|$ が大きくなる。

1.4. 反射率の検討. 領域の境界 $x=0$ においては, $x=0$ で水位の連続が, すなはち $\eta = 0$ のすべての区で, 流速および圧力の連続が成立しなければならない. しかしながら, (17) および (19) 式のように, 基本波数のみを考えたボテンシャルにおいては, η_1 と η_2 の値が異なるために, 一般的な η のすべての区で, 常に流速および圧力の連続を成立させることはできない. 領域 I および II において発生する高次の擾乱項まで考えれば, 理論的には流速および圧力の連続を満足させることはできる.²⁾

しかし、かなり面倒であるし、またこのような非線形的性質の強い現象に、高次の擾乱項を重ね、含めることにと無理があると考えられるので、領域の境界の連続条件を次のように、断面平均量の連続で考えることにする。

$$\text{流量の連続} \quad Q_1 = \int_{-h}^0 U_1 dz = \int_{-h}^0 U_2 dz = Q_2 \quad \cdots (22)$$

$$\text{総圧力の連続} \quad P_1 = \int_{-h}^0 P_1 dz = \int_{-h}^0 P_2 dz = P_2 \quad \dots (23)$$

$$\text{ボテンシャルより} \quad \frac{P_1}{p} = g\varphi_1 + \frac{k}{\lambda} \frac{\partial \varphi_1}{\partial t} = (g + \frac{k}{\lambda} \delta i) \varphi_1, \quad \frac{P_2}{p} = \frac{\partial \varphi_2}{\partial t} = \delta \varphi_2 i$$

$$U_1 = -k \frac{\partial \phi_1}{\partial x} \quad U_2 = - \frac{\partial \phi_2}{\partial x} \quad \text{の関係を利用して (2z)}$$

および(23)の関係式をつくると、(17)および(19)式中の未知数HRとEIは連続方程式の解としてとり、HRは次のようになる。

$$H_R = \frac{(1 + e^{izk_1 l})(g + \frac{ik\sigma}{\lambda}) - i(1 - e^{-izk_1 l})\frac{k_1}{k_2} k\sigma}{(1 + e^{izk_1 l})(g + \frac{ik\sigma}{\lambda}) + i(1 - e^{-izk_1 l})\frac{k_1}{k_2} k\sigma} \quad \dots \dots \dots (24)$$

乙、適用上の問題点

透過性構造物内の流れが乱流である場合には、 d を粒径、 f を抵抗係数として X 方向の運動方程式は次のようになる。 $\frac{1}{\rho} \frac{\partial u_1}{\partial t} = - \frac{1}{\rho} \frac{\partial P}{\partial x} - \frac{f}{d} (u_1 u_1) \dots \dots \dots (25)$

この場合は、 χ を空隙率ヒレイノルズ数の関数として、実験結果に基づき、抵抗項を次のように線形化すればよい。

$$\frac{f}{d} |U_0| U_0 \approx \frac{(1-\lambda)}{2\lambda^2 d} \left\{ \frac{1000(1-\lambda)^2}{d} + \frac{g}{2\pi} \times 4.9 \times U_0 \right\} U = \frac{g}{Kx} U_0 \quad \dots \dots \dots (26)$$

区方向と同様に線形化して Kz をもとめれば良い。 U_0 および W_0 は捨石堤内の流速成分の最大値の代表値であるが次のように推定すれば良いであろう。

$$U_0 = U_{0,\frac{l}{2},-\frac{h}{2}} = \frac{1}{2} (U_{0,-\frac{l}{2}} + U_{0,\frac{l}{2},-\frac{h}{2}}) = \frac{G}{2} \frac{\cosh(k_2 h/2)}{\sinh k_2 h} (|H_I| + |H_R|) \quad \dots \dots \dots (27)$$

$$W_0 = W_{0,-\frac{h}{2}} = \frac{G}{2} \frac{\sinh(k_2 h/2)}{\sinh k_2 h} (|H_I| - |H_R|) \quad \dots \dots \dots (28)$$

U_0 および W_0 はまだ求めるべき未知数 HR を含んでいるが、 HR を仮定し、くり返し計算を行なえば良い。 Kx と Kz の値は一般には一致せず、異方性を示すから、参考文献1)を参照すると、その場合には、 HR は結局次のようになる。

$$HR = \frac{(1 + e^{-izk_1 l})(g + \frac{iK\sigma}{\lambda}) - i(1 - e^{-izk_1 l})Kx \frac{k_1}{k_2} G}{(1 + e^{-izk_1 l})(g + \frac{iK\sigma}{\lambda}) + i(1 - e^{-izk_1 l})Kx \frac{k_1}{k_2} G} \quad \dots \dots \dots (29)$$

$$\lambda = \sqrt{Kx \cdot Kz}, \quad (G^2 - i \frac{\lambda G}{K} g) = g \frac{Kz}{\lambda} k_{11} \tanh k_{11} h, \quad k_{11} = k_{11} \sqrt{Kz/Kx} \quad \dots \dots \dots (30)$$

3. 鉛直捨石護岸からの反射率の定性的検討

理論的検討の結果得られた(29)式を利用して、鉛直捨石護岸からの反射率について定性的検討を行なってみる。(29)式において、 $k_{11}l \rightarrow 0$ とすると $HR/H_I = 1$ となり、完全反射となる。

$e^{-izk_1 l} \neq 0$ 、すなむち $|k_{11}l|$ が大きい場合は、反射率は、

$$\frac{HR}{H_I} = \frac{g + iG(\frac{K}{\lambda} - \frac{k_1}{k_2} Kx)}{g + iG(\frac{K}{\lambda} + \frac{k_1}{k_2} Kx)} \quad \dots \dots \dots (31)$$

一定値に近づくが、いかに消波工を長くしても、反射率は0にならない。

(31)式において $|k_{11}|$ が小さいほど反射率が大きいことが予想できるが、 k_{11} の近似値が深海波の近似の場合は、 $k_{11} = \frac{G^2}{g} - i \frac{\lambda G}{K}$ 、長波の近似の場合には $k_{11} = \sqrt{\frac{\lambda G}{2Kxh}} (1-i)$ で与えられることを考えると、

- 1). 長周期の波、
 - 2). 波高の小さな波、
 - 3). 水深の大きい場合
- に反射率が大きいことが推定でき、これらは経験的事実と一致する。

4. 実験的検討

鉛直捨石堤の厚さ $l = 10, 20$ および 40cm の3種、水深 $h = 30\text{cm}$ および 40cm の2種、周期 $1.0 \sim 2.0$ sec. 波高 $H_I = 1 \sim 6\text{cm}$ の各種の組合せで合計 184 ケースの実験を行なった。捨石の平均粒径は、 $d =$

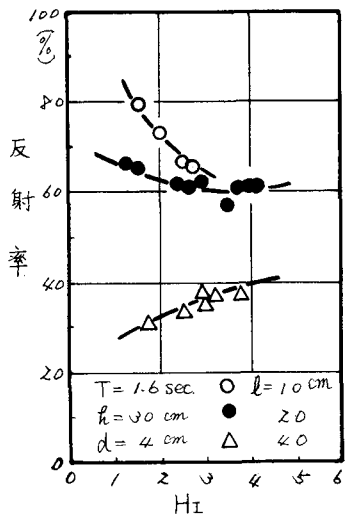


Fig. 2. 鉛直捨石堤からの反射率の実験結果

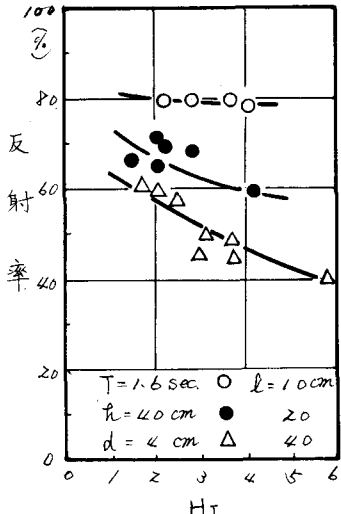


Fig. 3. 鉛直捨石堤からの反射率の実験結果

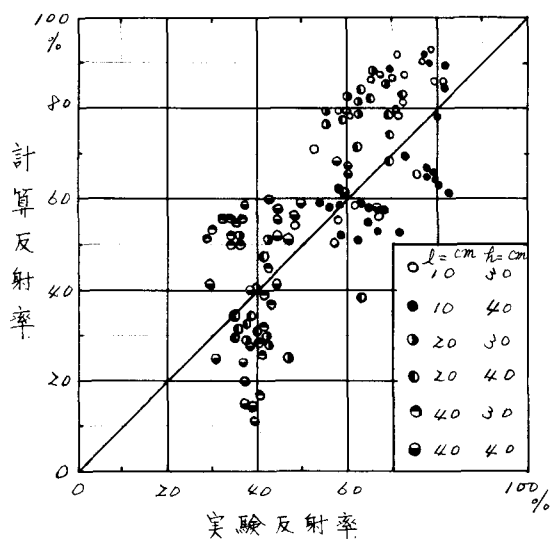


Fig. 4. 実験値と計算値の比較

$\lambda = 0 \text{ cm}$ が一定であったが、空隙率は $\lambda = 0.056$ ($l = 10 \text{ cm}$)
 $\lambda = 0.402$ ($l = 20 \text{ cm}$)
 0.459 ($l = 40 \text{ cm}$) と変化した。
 図-2 および 3 に実験結果の一部を示した。空隙率が一定でないため、単純な比較はむづかしいが、 l が大きくなるにつれ、反射率が減少すること、水深が増大するほど反射率が増大することが認められる。波高の小さい波ほど反射率が増大する傾向も認められるが、図-2 の $l = 40 \text{ cm}$, $h = 30 \text{ cm}$ のケースのようにほぼ一定の場合もあり。

反射率の定性的傾向は簡単には表現しがたい。
 空隙率の大きい λ よりも $\lambda = 1$ の時に $H_R/H_I = 1$ となることより、反射率が最小となる λ があると予想されるが、極限状態の (31) 式においてさえ、右に K および $K\lambda$ が入る関数であることを考えると、反射率を最小とする空隙率の検討は非常に難しい。

5. 理論値と実験値の比較

図-4 に実験結果と計算結果の比較を示した。計算は実験条件の H_I , T , λ , h , l を知って、実験結果の H_R を使用して (29) 式で計算したものである。かなりのバラツキはみられるが、傾向は完全に一致している。このような考え方により、かなり良く鉛直捨石護岸からの反射現象が説明できることを示しているものと思われる。

参考文献

- 富永正昭、坂本忠彦「透過程構造物による波の変形に関する研究(1)」土木研究所報告第147号
- 井島武士、尾崎重雄「水平板による防波堤と岸壁に関する研究(2)」第17回海岸工学講演会